

펄스 CO₂ 레이저 출력의 CO 해리 영향에
대한 해석

(THEORETICAL ANALYSIS ON CO DISSOCIATION EFFECT OUTPUT POWER OF
PULSED CO₂ LASER)

조 순천, 이주희
(Cho, Soon Chen, Lee, Choo Hie)

경희 대학교 공과대학 전자공학과
(Department of Electronic Engineering, College of Engineering, Kyung Hee Univ.)

1. 서론

방전 어기 CO₂ 레이저는 1964년 Patel에 의해 발진이 성공된 이후 20여년이 지나는 동안 고효율(전기적 효율 30%, 양자효율 40%) 및 대출력을 얻을 수 있었지만 아니라 사용 매질의 저렴한 가격과 허급의 용이함 때문에 재료가공 및 의약, 레이저 핵융합 분야와 대기중에서 을 수가 적어 통신 분야등에 폭넓게 사용되고 있다. 이러한 CO₂ 레이저에서 효율을 높이기 위한 여러 첨가가스의 영향에 대해 보고[1]가 되어있다. 전형적 비퍼 가스인 He와 N₂는 각각 가스 자체를 냉각시키는 작용과 효율적인 에너지 전달작용을 하며, H₂(5%)와 NO(0.2%)등은 소량의 첨가에 의해 출력이 증가되지만 NO, O 등은 출력을 감소시킨다. 그러나 펄스나 CW CO₂ 레이저에서는 전자화의 충돌에 의해 해리작용을 일으켜 CO분자가 생성되어 이러한 CO분자에 대해 CO₂ 레이저의 영향에 관한 보고[2]가 있었으며, 특히 Sealed-Off CO₂ 레이저에 많은 연구[3,4]가 있었다. 본 보고에서는 펄스 CO₂ 레이저에서의 CO의 해리 과정 및 CO 해리를 이해하는 데 도움을 주는 CO₂, N₂, CO 분자의 진동 레벨의 완화 시간(Relaxation Time)에 따른 출력의 영향에 대한 이론적 해석을 하였다.

2-1. 시뮬레이션 코드

이론적 해석을 위하여 A.R.DAVIES[5] 등이 제안한 방법을 사용하였다.

그림[1]은 CO₂, N₂, CO 분자의 진동 레벨을 나타내고 있으며 1, 2, 3은 CO₂ 분자의 대칭(Symmetric), 굽곡(Bending), 비

대칭(Asymmetric) 진동모드이고 4, 5는 각각 N₂와 CO의 진동 레벨을 표시한다. 각 진동 레벨의 에너지를 시간의 함수로 표현하였고 덧붙여 광자비율 방정식을 포함하여 출력을 계산하였다. 전자에 의한 CO와 N₂의 진동 레벨은 직접 어기가 되며 CO₂의 (0 0 v) 레벨과 N₂의 진동 레벨, 그리고 CO₂의 (0 0 v)와 (1 1 0) 레벨과 CO의 진동 레벨이 공진 결합을 하고 있다. 자세한 설명은 [5]에 보고되었다.

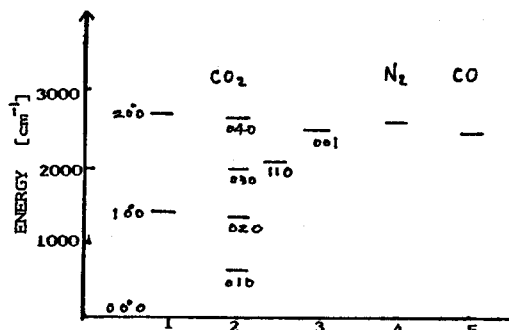
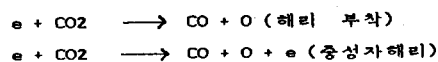


그림 1. Schematic diagram of the vibrational levels of the CO₂, N₂, and CO molecule.

2-2. CO의 해리과정

CO의 해리과정은 Sano[6] 등이 제안한 방법을 이용하였다. CO₂ 분자는 전자의 해리 부착(dissociative attachment)과 중성자(natural) 해리에 의해 CO가 생성되며 이들의 반응식은 다음과 같다.



충성자 해리 계수는 해리 부착 계수보다 크며 또한 초기의 음이온 (negative ion)은 two-body 해리 부착 반응과 three-body 부착 반응에 의해 생성된다. CO의 해리과정을 계산하기 위해 모두 63 개의 반응식을 사용하였으며, Runge-Kutta 방법을 이용하여 방정식을 시간 변화에 대해 풀었다. 그림[2]는 압력 변화에 따른 CO의 생성을 나타낸 것으로 압력의 증가에 따라 CO도 증가하였다.

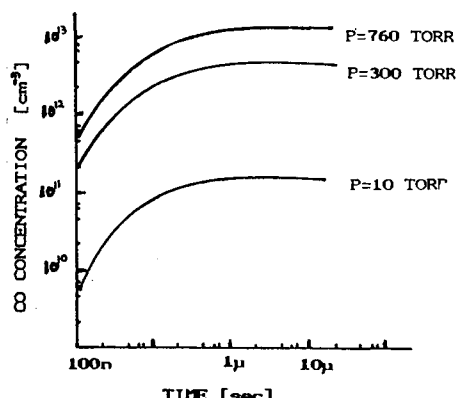


그림 2. Variation with time of the CO concentration in a 1-1-8 CO₂-N₂-He mixture.

2-3. CO의 영향

CO₂ 분자의 수 밀도에서 CO의 해리는 CO₂ 분자 수 밀도를 감소시키며 또한 그에 따른 CO의 형성을 레이저 동작에 중요한 영향을 미친다. 이것은 Sealed OFF 레이저의 밀도반전과 속력이 flowing 시스템의 밀도반전과 충격보다 적은 것으로 알 수 있다. 해리를 δ 를

$$\delta = N_{CO} / (N_{CO} + N_{CO_2}) * 100 [\%]$$

로 표현하면 그림[3]은 δ 의 변화에 대한 CO₂의 상준위 페벨과 하준위 페벨의 밀도반전과 쇠고속력(peak power)을 나타낸다. δ 가 커짐에 따라 밀도반전은 $\delta = 1\%$ 에서 1.7% 증가한 후 그 이상의 계속 감소하여 $\delta = 30\%$ 에서는 23% 감소하며 밀도반전에 대한 쇠고속력의 변화는 $\delta = 1\%$ 에서 2% 증가하나

$$\delta = 30\% \text{에서는 } 40\% \text{ 감소한다.}$$

또한 그림[4]는 방전시간에 대한 CO₂(0 0 1) 페벨의 완화시간 (Relaxation time)을 δ 에 대해 나타낸 것이다.

그림에서도 알 수 있듯이 δ 의 값이 커

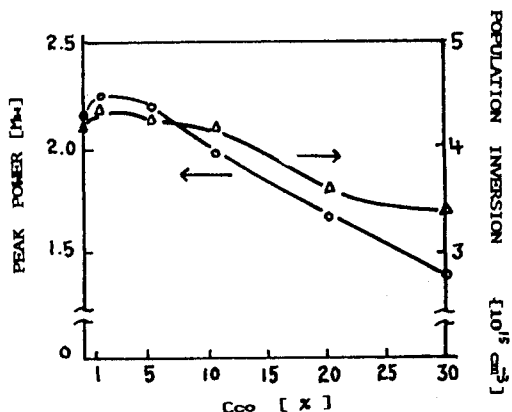


그림 3. Dependence of the Population Inversion and Peak Power upon the Percentage of the CO Concentration in the Discharge 1:1:8 CO₂:N₂:He Mixture.
[Cco=N_{CO} / (N_{CO} + N_{CO₂}) * 100]

질수록 완화시간도 증가한다.

그림[5]는 δ 값 변화에 따른 쇠고속력의 완화시간을 보여주고 있다. 역시 여기에서도 δ 값의 증가에 따라 완화시간도 1%까지는 감소하다가 그 이상의 값에서는 증가한다. CO₂ 방전 매이저에서 에너지 전달을 위한 비퍼가스로 쓰는 N₂분자와 비슷한 승률단면적을 가지고, CO₂(0 0 1) 페벨과 궁진 결합을 하므로 CO₂-CO-He일 때는 CO분자는 펌핑 가스로 작용한다. 하지만 CO₂-CO일 때보다 CO₂-N₂의 밀도반전이 1.5 — 2 배 정도[5] 크다.

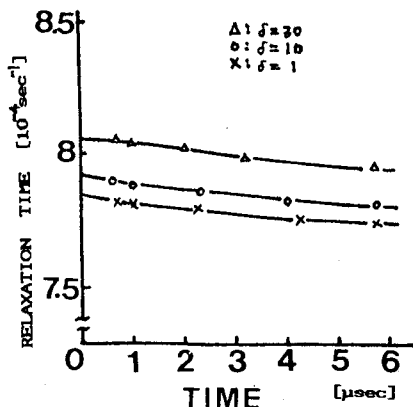


그림 4. Dependence of the relaxation time of CO₂(0 0 1) level for the discharge time at different CO concentration.
(1-1-8 CO₂-N₂-He, 1 atm)

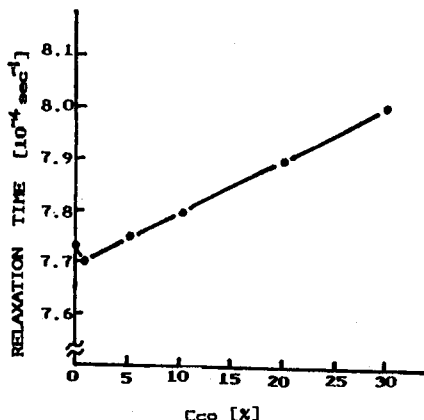


그림 5. Dependence of CO Concentration for the Relaxation Time of (0 0 1) Level at Different Peak Power.

그러므로 CO₂-CO-N₂-He의 혼합 가스에서는 CO분자가 1%일 때 까지는 출력을 증가시키지만 그 이상에서는 CO₂의 밀도수를 감소시키는 원인도 있지만 CO₂(0 0 1) 레벨의 완화시간을 크게하여 출력을 감소시킨다.

3. 결 론

펄스 CO₂ 레이저에서 CO분자의 영향을 조사하기 위하여 컴퓨터 시뮬레이션 코드를 만들었고, CO₂:N₂:He=1:1:8, 1cm에서 해리를 δ 를 0 - 30%까지 변화시켜 상준위 (0 0 1) 레벨과 하준위 (1 0 0) 레벨과의 밀도반전과 쇠고출력을 그리고 (0 0 1) 레벨의 완화시간에 대하여 구하였다. $\delta = 1\%$ 일 때 $\delta = 0$ 보다 밀도반전은 1.7%, 최대출력은 2% 증가하였고, $\delta = 30\%$ 일 때는 밀도반전은 22%, 최대출력은 40% 감소하였다.

참 고 문 헌

- P.Bilfinger, D.A.Laborde, et al., IEEE J.QE., vol.QE-11, pp317-323, July, 1975
- E.N.Lotkota, V.N.Ochkin, and N.N.Sobolev, IEEE J.QE, vol.QE-7, pp396-402, Aug 1971.
- A.L.Smith and J.M.Astin, J.Phys.D vol.7, pp314-322, 1974.
- D.S.Stark, P.H.Cross, and H.Forster, IEEE J.QE, vol.QE-11, No9, pp774-778 SEPT, 1975.
- A.R.Davies, K.Smith and R.H.Thomson, Comp.Phys.Comm.10, pp117-132, 1975
- S.Ono and S.Teii, J.Phys.D:Appl.Phys vol.17, pp1999-2008, 1984.
- B.F.Gordietz, N.N.Sobolev, et al., IEEE J.QE, vol.QE-4, pp796-802, NOV, 1968.